



第6章

6.3 降维状态观测器

第6章 状态观测器

程龙, 薛文超

中国科学院自动化研究所
中国科学院数学与系统科学研究院



第6章

6.3 降维状态观测器

1 6.3 降维状态观测器

- 6.3.1 $C = [I_q \ 0]$ 时的降维观测器
- 6.3.2 基于降维状态观测器的输出动态反馈特性
- 6.3.3 C 行满秩时的降维观测器
- 6.3.4 C 行降秩时的降维观测器



第6章

6.3 降维状态观测器

6.3.1 $C = [I_q \ 0]$ 时的降维观测器

6.3.2 基于降维状态观测器的输出动态反馈特性

6.3.3 C 行满秩时的降维观测器

6.3.4 C 行降秩时的降维观测器

1 6.3 降维状态观测器

- 6.3.1 $C = [I_q \ 0]$ 时的降维观测器
- 6.3.2 基于降维状态观测器的输出动态反馈特性
- 6.3.3 C 行满秩时的降维观测器
- 6.3.4 C 行降秩时的降维观测器



6.3 降维状态观测器

第6章

6.3 降维状态观测器

6.3.1 $C = I_n$ 时的降维观测器

6.3.2 基于降维状态观测器的输出动态反馈特性

6.3.3 C 行满秩时的降维观测器

6.3.4 C 行降秩时的降维观测器

考虑到系统的输出 y 中已含有系统状态 x 的部分信息, 因此,

- 可以直接利用这部分信息, 去构造维数低于被估计系统维数的状态观测器, 称为降维观测器

$$\int_1^t e^{-t+s} \frac{1}{s} dW(s) \quad (1)$$



第6章

6.3 降维状态观测器

6.3.1 $C = I_n$ 时的降维观测器

6.3.2 基于降维状态观测器的输出动态反馈特性

6.3.3 C 行满秩时的降维观测器

6.3.4 C 行降秩时的降维观测器

6.3 降维状态观测器

考虑到系统的输出 y 中已含有系统状态 x 的部分信息, 因此,

- 可以直接利用这部分信息, 去构造维数低于被估计系统维数的状态观测器, 称为降维观测器

$$\int_1^t e^{-t+s} \frac{1}{s} dW(s) \quad (1)$$

- 考虑线性系统

$$\begin{aligned} \dot{x} &= Ax + Bu, \\ y &= Cx, \end{aligned} \quad (2)$$

其中, x 为 n 维状态变量, u 为 p 维输入变量, y 为 q 维输出变量, A, B, C 分别为 $n \times n, n \times p, q \times n$, 实常阵

- 设计系统(2)的降维状态观测器, 我们以 C 的形式分以下三种类型进行讨论
- 假定 (A, C) 为可检测的



第6章

6.3 降维状态观测器

6.3.1 $C = [I_q \ 0]$ 时的降维观测器

6.3.2 基于降维状态观测器的输出动态反馈特性

6.3.3 C 行满秩时的降维观测器

6.3.4 C 行降秩时的降维观测器

1 6.3 降维状态观测器

- 6.3.1 $C = [I_q \ 0]$ 时的降维观测器

- 6.3.2 基于降维状态观测器的输出动态反馈特性

- 6.3.3 C 行满秩时的降维观测器

- 6.3.4 C 行降秩时的降维观测器



第6章

6.3 降维状态观测器

6.3.1 $C = [I_q \ 0]$ 时的降维观测器

6.3.2 基于降维状态观测器的输出动态反馈特性

6.3.3 C 行满秩时的降维观测器

6.3.4 C 行降秩时的降维观测器

6.3.1 $C = [I_q \ 0]$ 时的降维观测器

对系统(2)设计 $n - q$ 维的状态观测器

- 令

$$x = \begin{bmatrix} x_1 \\ x_2 \end{bmatrix}, \quad (3)$$

其中, x_1 为 q 维状态变量, x_2 为 $n - q$ 维状态变量

- 相应地, 记

$$A = \begin{bmatrix} A_{11} & A_{12} \\ A_{21} & A_{22} \end{bmatrix}, \quad B = \begin{bmatrix} B_1 \\ B_2 \end{bmatrix}, \quad (4)$$

$A_{11}, A_{12}, A_{21}, A_{22}, B_1, B_2$ 分别为 $q \times q, q \times (n - q), (n - q) \times q, (n - q) \times (n - q), q \times p, (n - q) \times p$ 的实常阵

- 则系统(2)可表示为:

$$\begin{aligned} \dot{x}_1 &= A_{11}x_1 + A_{12}x_2 + B_1u, \\ \dot{x}_2 &= A_{21}x_1 + A_{22}x_2 + B_2u, \\ y &= x_1. \end{aligned} \quad (5)$$

注: 显然, 分状态 x_1 即为系统输出, 可直接利用, 需要被估计的状态是 x_2 .



第6章

6.3 降维状态观测器

6.3.1 $C = [I_q \ 0]$ 时的降维观测器

6.3.2 基于降维状态观测器的输出动态反馈特性

6.3.3 C 行满秩时的降维观测器

6.3.4 C 行降秩时的降维观测器

6.3.1 $C = [I_q \ 0]$ 时的降维观测器

- 系统(5)可重新写为

$$\begin{aligned}\dot{y} &= A_{11}y + A_{12}x_2 + B_1u, \\ \dot{x}_2 &= A_{21}y + A_{22}x_2 + B_2u,\end{aligned}\tag{6}$$

则可导出相对于 x_2 的状态方程和输出方程

$$\begin{aligned}\dot{x}_2 &= A_{22}x_2 + (A_{21}y + B_2u), \\ \dot{y} - A_{11}y - B_1u &= A_{12}x_2.\end{aligned}\tag{7}$$



第6章

6.3 降维状态观测器

6.3.1 $C = [I_q \ 0]$ 时的降维观测器

6.3.2 基于降维状态观测器的输出动态反馈特性

6.3.3 C 行满秩时的降维观测器

6.3.4 C 行降秩时的降维观测器

6.3.1 $C = [I_q \ 0]$ 时的降维观测器

- 系统(5)可重新写为

$$\begin{aligned}\dot{y} &= A_{11}y + A_{12}x_2 + B_1u, \\ \dot{x}_2 &= A_{21}y + A_{22}x_2 + B_2u,\end{aligned}\tag{6}$$

则可导出相对于 x_2 的状态方程和输出方程

$$\begin{aligned}\dot{x}_2 &= A_{22}x_2 + (A_{21}y + B_2u), \\ \dot{y} - A_{11}y - B_1u &= A_{12}x_2.\end{aligned}\tag{7}$$

- 定义

输入 $\bar{u} = A_{21}y + B_2u$ 和输出 $\tilde{y} = \dot{y} - A_{11}y - B_1u$

则系统(7)还可表示为如下的规范形式

$$\begin{aligned}\dot{x}_2 &= A_{22}x_2 + \bar{u}, \\ \tilde{y} &= A_{12}x_2.\end{aligned}\tag{8}$$

系统(8)为 $n - q$ 维系统

- 若 (A_{22}, A_{12}) 可检测, 则系统(8)全维状态观测器一定存在



第6章

6.3 降维状态观测器

6.3.1 $C = [I_q \ 0]$ 时的降维观测器

6.3.2 基于降维状态观测器的输出动态反馈特性

6.3.3 C 行满秩时的降维观测器

6.3.4 C 行降秩时的降维观测器

6.3.1 $C = [I_q \ 0]$ 时的降维观测器

考察 (A_{22}, A_{12}) 可检测性, 有如下结论:

引理

引理6.3 矩阵对 (A_{22}, A_{12}) 是可检测的, 当且仅当 (A, C) 可检测; 矩阵对 (A_{22}, A_{12}) 能观, 当且仅当 (A, C) 能观.



第6章

6.3 降维状态观测器

6.3.1 $C = [I_q \ 0]$ 时的降维观测器

6.3.2 基于降维状态观测器的输出动态反馈特性

6.3.3 C 行满秩时的降维观测器

6.3.4 C 行满秩时的降维观测器

6.3.1 $C = [I_q \ 0]$ 时的降维观测器

考察 (A_{22}, A_{12}) 可检测性, 有如下结论:

引理

引理6.3 矩阵对 (A_{22}, A_{12}) 是可检测的, 当且仅当 (A, C) 可检测; 矩阵对 (A_{22}, A_{12}) 能观, 当且仅当 (A, C) 能观.

证明: 注意 $C = [I_q \ 0]$, 则考虑PBH判据可得

$$\begin{aligned} \text{rank} \begin{bmatrix} sI - A \\ C \end{bmatrix} &= \text{rank} \begin{bmatrix} sI - A_{11} & -A_{12} \\ -A_{21} & sI - A_{22} \\ I_q & 0 \end{bmatrix} \\ &= \text{rank} \begin{bmatrix} 0 & -A_{12} \\ 0 & sI - A_{22} \\ I_q & 0 \end{bmatrix} \\ &= q + \text{rank} \begin{bmatrix} sI - A_{22} \\ A_{12} \end{bmatrix}. \end{aligned}$$

● 由PBH秩判据即可得引理中的结论成立



6.3.1 $C = [I_q \ 0]$ 时的降维观测器

第6章

6.3 降维状态观测器

6.3.1 $C = [I_q \ 0]$ 时的降维观测器

6.3.2 基于降维状态观测器的输出动态反馈特性

6.3.3 C 行满秩时的降维观测器

6.3.4 C 行降秩时的降维观测器

- 基于引理6.3, 令系统(8)的全阶观测器为

$$\dot{z} = (A_{22} - GA_{12})z + \bar{u} + G\tilde{y}. \quad (9)$$

通过选取 G , 使得 $A_{22} - GA_{12}$ 的特征值均具有负实部, 显然

$$z(t) - x_2(t) = e^{(A_{22} - GA_{12})t}(z(0) - x(0)), \quad t \geq 0,$$

从而, $\lim_{t \rightarrow \infty} (z(t) - x_2(t)) = 0$ 成立



6.3.1 $C = [I_q \ 0]$ 时的降维观测器

第6章

6.3 降维状态观测器

6.3.1 $C = [I_q \ 0]$ 时的降维观测器

6.3.2 基于降维状态观测器的输出动态反馈特性

6.3.3 C 行满秩时的降维观测器

6.3.4 C 行降秩时的降维观测器

- 基于引理6.3, 令系统(8)的全阶观测器为

$$\dot{z} = (A_{22} - GA_{12})z + \bar{u} + G\tilde{y}. \quad (9)$$

通过选取 G , 使得 $A_{22} - GA_{12}$ 的特征值均具有负实部, 显然

$$z(t) - x_2(t) = e^{(A_{22} - GA_{12})t}(z(0) - x(0)), \quad t \geq 0,$$

从而, $\lim_{t \rightarrow \infty} (z(t) - x_2(t)) = 0$ 成立

- 将 \bar{u}, \tilde{y} 代入(9), 即可得观测器

$$\dot{z} = (A_{22} - GA_{12})z + (A_{21}y + B_2u) + G(\dot{y} - A_{11}y - B_1u). \quad (10)$$



6.3.1 $C = [I_q \ 0]$ 时的降维观测器

第6章

6.3 降维状态观测器

6.3.1 $C = [I_q \ 0]$ 时的降维观测器

6.3.2 基于降维状态观测器的输出动态反馈特性

6.3.3 C 行满秩时的降维观测器

6.3.4 C 行降秩时的降维观测器

- 基于引理6.3, 令系统(8)的全阶观测器为

$$\dot{z} = (A_{22} - GA_{12})z + \bar{u} + G\tilde{y}. \quad (9)$$

通过选取 G , 使得 $A_{22} - GA_{12}$ 的特征值均具有负实部, 显然

$$z(t) - x_2(t) = e^{(A_{22} - GA_{12})t}(z(0) - x(0)), \quad t \geq 0,$$

从而, $\lim_{t \rightarrow \infty} (z(t) - x_2(t)) = 0$ 成立

- 将 \bar{u}, \tilde{y} 代入(9), 即可得观测器

$$\dot{z} = (A_{22} - GA_{12})z + (A_{21}y + B_2u) + G(\dot{y} - A_{11}y - B_1u). \quad (10)$$

注: 由于上式中含有 \dot{y} , 将 \dot{y} 作为人造系统的输入, 则使系统对于干扰十分敏感, 由于干扰影响, 系统输出 y 有微小变化, 可能造成 \dot{y} 有很大变化



第6章

6.3 降维状态观测器

6.3.1 $C = [I_q \ 0]$ 时的降维观测器

6.3.2 基于降维状态观测器的输出动态反馈特性

6.3.3 C 行满秩时的降维观测器

6.3.4 C 行降秩时的降维观测器

6.3.1 $C = [I_q \ 0]$ 时的降维观测器

- 对上述系统(10)进行改造, 因为

$$\begin{aligned}(\dot{z} - G\dot{y}) &= (A_{22} - GA_{12})(z - Gy) + (A_{22} - GA_{12})Gy \\ &\quad + A_{21}y + B_2u - (GA_{11}y + GB_1u) \\ &= (A_{22} - GA_{12})(z - Gy) + [(A_{22} - GA_{12})G \\ &\quad + (A_{21} - GA_{11})]y + (B_2 - GB_1)u,\end{aligned}\quad (11)$$

➡ 若令

$$\omega = z - Gy, \quad (12)$$

则上式(11)即为

$$\dot{\omega} = (A_{22} - GA_{12})\omega + [(A_{22} - GA_{12})G + (A_{21} - GA_{11})]y + (B_2 - GB_1)u. \quad (13)$$



第6章

6.3 降维状态观测器

6.3.1 $C = [I_q \ 0]$ 时的降维观测器

6.3.2 基于降维状态观测器的输出动态反馈特性

6.3.3 C 行满秩时的降维观测器

6.3.4 C 行降秩时的降维观测器

6.3.1 $C = [I_q \ 0]$ 时的降维观测器

- 对上述系统(10)进行改造, 因为

$$\begin{aligned}(\dot{z} - G\dot{y}) &= (A_{22} - GA_{12})(z - Gy) + (A_{22} - GA_{12})Gy \\ &\quad + A_{21}y + B_2u - (GA_{11}y + GB_1u) \\ &= (A_{22} - GA_{12})(z - Gy) + [(A_{22} - GA_{12})G \\ &\quad + (A_{21} - GA_{11})]y + (B_2 - GB_1)u,\end{aligned}\quad (11)$$

➡ 若令

$$\omega = z - Gy, \quad (12)$$

则上式(11)即为

$$\dot{\omega} = (A_{22} - GA_{12})\omega + [(A_{22} - GA_{12})G + (A_{21} - GA_{11})]y + (B_2 - GB_1)u. \quad (13)$$

- 由 $z = \omega + Gy$ 渐近逼近 x_2 , 则取估计状态

$$\hat{x} = \begin{bmatrix} y \\ \omega + Gy \end{bmatrix} = \begin{bmatrix} I & 0 \\ G & I \end{bmatrix} \begin{bmatrix} y \\ \omega \end{bmatrix}, \quad (14)$$



6.3.1 $C = [I_q \ 0]$ 时的降维观测器

第6章

那么, 有

$$\lim_{t \rightarrow \infty} (\hat{x}(t) - x(t)) = \lim_{t \rightarrow \infty} \left(\begin{bmatrix} y \\ \omega + Gy \end{bmatrix} - \begin{bmatrix} x_1 \\ x_2 \end{bmatrix} \right) = \lim_{t \rightarrow \infty} \begin{bmatrix} 0 \\ z - x_2 \end{bmatrix} = 0.$$

6.3 降维状态观测器

6.3.1 $C = [I_q \ 0]$ 时的降维观测器

6.3.2 基于降维状态观测器的输出动态反馈特性

6.3.3 C 行满秩时的降维观测器

6.3.4 C 行降秩时的降维观测器



6.3.1 $C = [I_q \ 0]$ 时的降维观测器

第6章

那么, 有

$$\lim_{t \rightarrow \infty} (\hat{x}(t) - x(t)) = \lim_{t \rightarrow \infty} \left(\begin{bmatrix} y \\ \omega + Gy \end{bmatrix} - \begin{bmatrix} x_1 \\ x_2 \end{bmatrix} \right) = \lim_{t \rightarrow \infty} \begin{bmatrix} 0 \\ z - x_2 \end{bmatrix} = 0.$$

- 式(13), (14)即为系统(2)在 $C = [I_q \ 0]$ 时的 $n - q$ 维状态观测器和估计状态, 其结构见图6.3

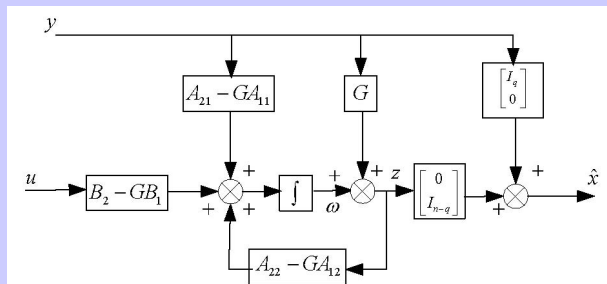


图6.3 降维状态观测器



第6章

6.3 降维状态观测器

6.3.1 $C = [I_r \ 0]$ 时的降维观测器

6.3.2 基于降维状态观测器的输出动态反馈特性

6.3.3 C 行满秩时的降维观测器

6.3.4 C 行降秩时的降维观测器

1 6.3 降维状态观测器

- 6.3.1 $C = [I_r \ 0]$ 时的降维观测器

- 6.3.2 基于降维状态观测器的输出动态反馈特性

- 6.3.3 C 行满秩时的降维观测器

- 6.3.4 C 行降秩时的降维观测器



6.3.2 基于降维状态观测器的输出动态反馈特性

第6章

6.3 降维状态观测器

6.3.1 $C=[I_q \ 0]$ 时的降维观测器

6.3.2 基于降维状态观测器的输出动态反馈特性

6.3.3 C 行满秩时的降维观测器

6.3.4 C 行降秩时的降维观测器

● 考虑线性系统

$$\begin{aligned}\dot{x} &= Ax + Bu, \\ y &= \begin{bmatrix} I_q & 0 \end{bmatrix} x.\end{aligned}\tag{15}$$

其 $n-q$ 维观测器为

$$\begin{aligned}\dot{\omega} &= (A_{22} - GA_{12})\omega + [(A_{22} - GA_{12})G + (A_{21} - GA_{11})]y \\ &\quad + (B_2 - GB_1)u, \\ \hat{x} &= \begin{bmatrix} y \\ \omega + Gy \end{bmatrix}.\end{aligned}\tag{16}$$



第6章

6.3 降维状态观测器

6.3.1 $C = [I_q \ 0]$ 时的降维观测器

6.3.2 基于降维状态观测器的输出动态反馈特性

6.3.3 C 行满秩时的降维观测器

6.3.4 C 行满秩时的降维观测器

6.3.2 基于降维状态观测器的输出动态反馈特性

● 考虑线性系统

$$\begin{aligned}\dot{x} &= Ax + Bu, \\ y &= \begin{bmatrix} I_q & 0 \end{bmatrix} x.\end{aligned}\quad (15)$$

其 $n - q$ 维观测器为

$$\begin{aligned}\dot{\omega} &= (A_{22} - GA_{12})\omega + [(A_{22} - GA_{12})G + (A_{21} - GA_{11})]y \\ &\quad + (B_2 - GB_1)u, \\ \hat{x} &= \begin{bmatrix} y \\ \omega + Gy \end{bmatrix}.\end{aligned}\quad (16)$$

➡ 对系统(15)作输出反馈

$$\begin{aligned}u &= K\hat{x} + v = K \begin{bmatrix} y \\ \omega + Gy \end{bmatrix} + v \\ &= K \begin{bmatrix} I_q \\ G \end{bmatrix} y + K \begin{bmatrix} 0 \\ I_{n-q} \end{bmatrix} \omega + v,\end{aligned}\quad (17)$$



6.3.2 基于降维状态观测器的输出动态反馈特性

第6章

- 则闭环系统为:

$$\begin{aligned} \begin{bmatrix} \dot{x} \\ \dot{\omega} \end{bmatrix} &= \underbrace{\begin{bmatrix} A + BK \begin{bmatrix} I_q \\ G \end{bmatrix} \begin{bmatrix} I_q & 0 \end{bmatrix} \\ (A_{22} - GA_{12})G \\ + (A_{21} - GA_{11}) \begin{bmatrix} I_q & 0 \end{bmatrix} \\ + (B_2 - GB_1)K \begin{bmatrix} I_q \\ G \end{bmatrix} \begin{bmatrix} I_q & 0 \end{bmatrix} \end{bmatrix} \begin{bmatrix} 0 \\ I_{n-q} \end{bmatrix} \begin{bmatrix} x \\ \omega \end{bmatrix}}_{\triangleq \tilde{A}} \\ &+ \underbrace{\begin{bmatrix} B \\ B_2 - GB_1 \end{bmatrix}}_{\triangleq \tilde{B}} v \\ y &= \underbrace{\begin{bmatrix} I_q & 0 & 0 \end{bmatrix}}_{\triangleq \tilde{C}} \begin{bmatrix} x \\ \omega \end{bmatrix} \end{aligned} \quad (18)$$



6.3.2 基于降维状态观测器的输出动态反馈特性

第6章

6.3 降维状态观测器

6.3.1 $C = [I_r \ 0]$ 时的降维观测器

6.3.2 基于降维状态观测器的输出动态反馈特性

6.3.3 C 行满秩时的降维观测器

6.3.4 C 行降秩时的降维观测器

- 下面, 讨论上述闭环系统(18)的特征值和传递函数. 为此, 引入非奇异线性变换

$$\underbrace{\begin{bmatrix} x \\ \omega \end{bmatrix}}_{\tilde{x}} = P \underbrace{\begin{bmatrix} \tilde{x} \\ \tilde{\omega} \end{bmatrix}}_{\triangleq x_c}, \quad \text{即, 令 } x_c = P^{-1}\tilde{x} \quad (19)$$

其中,

$$P = \begin{bmatrix} I_n & 0 \\ \tilde{P} & I_{n-q} \end{bmatrix}, \quad \tilde{P} = \begin{bmatrix} -G & I_{n-q} \end{bmatrix} \quad (20)$$

$$P^{-1} = \begin{bmatrix} I_n & 0 \\ -\tilde{P} & I_{n-q} \end{bmatrix}$$

➡ 则, 可知

$$\begin{aligned} \dot{x}_c &= A_c x_c + B_c v \\ y &= C_c x_c \end{aligned}$$

其中,

$$A_c = P^{-1}\tilde{A}P, \quad B_c = P^{-1}\tilde{B}, \quad C_c = \tilde{C}P$$



6.3.2 基于降维状态观测器的输出动态反馈特性

第6章

6.3 降维状态观测器

6.3.1 $C=[I_r \ 0]$ 时的降维观测器

6.3.2 基于降维状态观测器的输出动态反馈特性

6.3.3 C 行满秩时的降维观测器

6.3.4 C 行降秩时的降维观测器

● 考虑

$$A_c = P^{-1} \left[\begin{array}{c|c} A + BK \begin{bmatrix} I_q \\ G \end{bmatrix} \begin{bmatrix} I_q & 0 \end{bmatrix} & BK \begin{bmatrix} 0 \\ I_{n-q} \end{bmatrix} \\ \hline \begin{bmatrix} (A_{22} - GA_{12})G \\ +(A_{21} - GA_{11}) \end{bmatrix} \begin{bmatrix} I_q & 0 \end{bmatrix} & \begin{bmatrix} (A_{22} - GA_{12}) \\ +(B_2 - GB_1)K \end{bmatrix} \begin{bmatrix} 0 \\ I_{n-q} \end{bmatrix} \end{array} \right] P$$

$$= \begin{bmatrix} A_{c1} & A_{c2} \\ A_{c3} & A_{c4} \end{bmatrix}$$

➡ 则, 可知

$$\begin{aligned} A_{c1} &= A + BK \begin{bmatrix} I_q \\ G \end{bmatrix} \begin{bmatrix} I_q & 0 \end{bmatrix} + BK \begin{bmatrix} 0 \\ I_{n-q} \end{bmatrix} \begin{bmatrix} -G & I_{n-q} \end{bmatrix} \\ &= A + BK \left(\begin{bmatrix} I_q & 0 \\ G & 0 \end{bmatrix} + \begin{bmatrix} 0 & 0 \\ -G & I_{n-q} \end{bmatrix} \right) \\ &= A + BK \end{aligned} \quad A_{c2} = BK \begin{bmatrix} 0 \\ I_{n-q} \end{bmatrix}$$



6.3.2 基于降维状态观测器的输出动态反馈特性

以及

$$\begin{aligned}A_{c4} &= - \begin{bmatrix} -G & I_{n-q} \end{bmatrix} BK \begin{bmatrix} 0 \\ I_{n-q} \end{bmatrix} + (A_{22} - GA_{12}) + (B_2 - GB_1)K \begin{bmatrix} 0 \\ I_{n-q} \end{bmatrix} \\&= - \begin{bmatrix} -G & I_{n-q} \end{bmatrix} \begin{bmatrix} B_1 \\ B_2 \end{bmatrix} K \begin{bmatrix} 0 \\ I_{n-q} \end{bmatrix} + \begin{bmatrix} -G & I_{n-q} \end{bmatrix} \begin{bmatrix} B_1 \\ B_2 \end{bmatrix} K \begin{bmatrix} 0 \\ I_{n-q} \end{bmatrix} \\&\quad + (A_{22} - GA_{12}) \\&= A_{22} - GA_{12} \\A_{c3} &= - \begin{bmatrix} -G & I_{n-q} \end{bmatrix} (A + BK \begin{bmatrix} I_q \\ G \end{bmatrix} \begin{bmatrix} I_q & 0 \end{bmatrix}) \\&\quad + [(A_{22} - GA_{12})G + (A_{21} - GA_{11})] \begin{bmatrix} I_q & 0 \end{bmatrix} \\&\quad + (B_2 - GB_1)K \begin{bmatrix} I_q \\ G \end{bmatrix} \begin{bmatrix} I_q & 0 \end{bmatrix} + (A_{22} - GA_{12}) \begin{bmatrix} -G & I_{n-q} \end{bmatrix} \\&= \begin{bmatrix} G & -I_{n-q} \end{bmatrix} \begin{bmatrix} A_{11} & A_{12} \\ A_{21} & A_{22} \end{bmatrix} + [(A_{22} - GA_{12})G + (A_{21} - GA_{11}) & 0] \\&\quad + \begin{bmatrix} -(A_{22} - GA_{12})G & (A_{22} - GA_{11}) \end{bmatrix} \\&= 0.\end{aligned}$$

第6章

6.3 降维状态观测器

6.3.1 $C=[I_r \ 0]$ 时的降维观测器

6.3.2 基于降维状态观测器的输出动态反馈特性

6.3.3 C 行满秩时的降维观测器

6.3.4 C 行降秩时的降维观测器



6.3.2 基于降维状态观测器的输出动态反馈特性

第6章

综合上面的推导, 于是有

$$A_c = \begin{bmatrix} A + BK & BK \begin{bmatrix} 0 \\ I_{n-q} \end{bmatrix} \\ 0 & A_{22} - GA_{12} \end{bmatrix} \quad (21)$$

$$\begin{aligned} B_c &= P^{-1} \begin{bmatrix} B \\ B_2 - GB_1 \end{bmatrix} \\ &= \begin{bmatrix} I_n & 0 \\ -\tilde{P} & I_{n-q} \end{bmatrix} \begin{bmatrix} B \\ B_2 - GB_1 \end{bmatrix} \\ &= \begin{bmatrix} B \\ 0 \end{bmatrix} \end{aligned} \quad (22)$$

$$\begin{aligned} C_c &= \begin{bmatrix} I_q & 0 & 0 \end{bmatrix} \begin{bmatrix} I_n & 0 \\ \tilde{P} & I_{n-q} \end{bmatrix} \\ &= \begin{bmatrix} I_q & 0 & 0 \end{bmatrix} \end{aligned} \quad (23)$$



6.3.2 基于降维状态观测器的输出动态反馈特性

第6章

6.3 降维状态观测器

6.3.1 $C = [I_q \ 0]$ 时的降维观测器

6.3.2 基于降维状态观测器的输出动态反馈特性

6.3.3 C 行满秩时的降维观测器

6.3.4 C 行降秩时的降维观测器

- 由(21)可以看到闭环系统(18)的特征值即为

$$\lambda_i(A + BK) \cup \lambda_j(A_{22} - GA_{12}), \quad i = 1, 2, \dots, n, \quad j = 1, 2, \dots, n - q,$$

即闭环系统的特征值满足分离原理



6.3.2 基于降维状态观测器的输出动态反馈特性

第6章

6.3 降维状态观测器

6.3.1 $C = [I_q \ 0]$ 时的降维观测器

6.3.2 基于降维状态观测器的输出动态反馈特性

6.3.3 C 行满秩时的降维观测器

6.3.4 C 行降秩时的降维观测器

- 由(21)可以看到闭环系统(18)的特征值即为

$$\lambda_i(A + BK) \cup \lambda_j(A_{22} - GA_{12}), \quad i = 1, 2, \dots, n, \quad j = 1, 2, \dots, n - q,$$

即闭环系统的特征值满足分离原理

- 闭环传递函数

$$G(s) = C_c(sI - A_c)^{-1}B_c = \begin{bmatrix} I_q & 0 \end{bmatrix} (sI - (A + BK))^{-1}B \quad (24)$$

即为系统直接经状态反馈 $u = Kx + v$ 的闭环传递函数, 也就是说,

- 降维状态观测器的引入, 并不改变原状态反馈系统的传递函数
- ➡ 基于全维状态观测器和降维状态观测器构造输出动态反馈, 所导致的闭环系统都具有特征根分离定理; 并且状态观测器的引入都不改变原状态反馈系统的传递函数



6.3.2 基于降维状态观测器的输出动态反馈特性

第6章

6.3 降维状态观测器

6.3.1 $C = [I_r \ 0]$ 时的降维观测器

6.3.2 基于降维状态观测器的输出动态反馈特性

6.3.3 C 行满秩时的降维观测器

6.3.4 C 行降秩时的降维观测器

例6.3.1 给定系统为

$$\dot{x} = \begin{bmatrix} 0 & 1 & 0 & 0 \\ 0 & 0 & -2 & 0 \\ 0 & 0 & 0 & 1 \\ 0 & 0 & 4 & 0 \end{bmatrix} x + \begin{bmatrix} 0 \\ 0 \\ 0 \\ -1 \end{bmatrix} u,$$
$$y = \begin{bmatrix} 1 & 0 & 0 & 0 \end{bmatrix} x.$$

试设计一降维观测器(特征值为 $\lambda_1 = -3$, $\lambda_{2,3} = -3 \pm 2j$), 并构造输出动态反馈, 使得闭环传递函数的极点为 $-1, -1 \pm j, -2$.



6.3.2 基于降维状态观测器的输出动态反馈特性

第6章

6.3 降维状态观测器

6.3.1 $C = [I_r \ 0]$ 时的降维观测器

6.3.2 基于降维状态观测器的输出动态反馈特性

6.3.3 C 行满秩时的降维观测器

6.3.4 C 行降秩时的降维观测器

解: (1) 设计状态反馈矩阵 K

● 闭环特征多项式为:

$$\begin{aligned}\alpha(s) &= (s+1)(s+1-j)(s+1+j)(s+2) \\ &= s^4 + 5s^3 + 10s^2 + 10s + 4\end{aligned}$$

● 令 $K = [k_1 \ k_2 \ k_3 \ k_4]$, 则

$$A + BK = \begin{bmatrix} 0 & 1 & 0 & 0 \\ k_1 & k_2 & k_3 - 2 & k_4 \\ 0 & 0 & 0 & 1 \\ -k_1 & -k_2 & 4 - k_3 & -k_4 \end{bmatrix},$$

$$\begin{aligned}\alpha(s) &= \det(sI - A - Bk) \\ &= s^4 + (k_4 - k_2)s^3 + (k_3 - k_1 - 4)s^2 + 2k_2s + 2k_1.\end{aligned}$$

➡ 比较系数即可得

$$K = [2 \ 5 \ 16 \ 10].$$



6.3.2 基于降维状态观测器的输出动态反馈特性

第6章

6.3 降维状态观测器

6.3.1 $C = [I_r \ 0]$ 时的降维观测器

6.3.2 基于降维状态观测器的输出动态反馈特性

6.3.3 C 行满秩时的降维观测器

6.3.4 C 行降秩时的降维观测器

(2) 设计降维状态观测器

- 由于降维观测器特征值为 $\lambda_1 = -3, \lambda_{2,3} = -3 \pm 2j$, 对应的特征多项式为

$$\begin{aligned}\bar{\alpha}(s) &= (s+3)(s+3-2j)(s+3+2j) \\ &= s^3 + 9s^2 + 31s + 39\end{aligned}$$

- 令

$$G = \begin{bmatrix} g_1 \\ g_2 \\ g_3 \end{bmatrix} \Rightarrow A_{22} - GA_{12} = \begin{bmatrix} -g_1 & -2 & 0 \\ -g_2 & 0 & 1 \\ -g_3 & 4 & 0 \end{bmatrix}.$$

且, 可知

$$\begin{aligned}\bar{\alpha}(s) &= \det sI - A_{22} + GA_{12} \\ &= s^3 + g_1s^2 - (2g_2 + 4)s - (2g_3 + 4g_1)\end{aligned}$$

➡ 比较 $\bar{\alpha}(s)$ 的系数, 即得

$$G = \begin{bmatrix} 9 \\ -\frac{35}{2} \\ -\frac{75}{2} \end{bmatrix}$$



6.3.2 基于降维状态观测器的输出动态反馈特性

第6章

- 此外, 由 G 计算可得

$$A_{22} - GA_{12} = \begin{bmatrix} -9 & -2 & 0 \\ \frac{35}{2} & 0 & 1 \\ \frac{75}{2} & 4 & 0 \end{bmatrix}$$

$$(A_{22} - GA_{12})G + (A_{21} - GA_{11}) = \begin{bmatrix} -46 \\ 120 \\ \frac{535}{2} \end{bmatrix}$$

$$B_2 - GB_1 = \begin{bmatrix} 1 \\ 0 \\ -1 \end{bmatrix}$$

6.3 降维状态观测器

6.3.1 $C = [I_r \ 0]$ 时的降维观测器

6.3.2 基于降维状态观测器的输出动态反馈特性

6.3.3 C 行满秩时的降维观测器

6.3.4 C 行降秩时的降维观测器



6.3.2 基于降维状态观测器的输出动态反馈特性

第6章

6.3 降维状态观测器

6.3.1 $C = [I_r \ 0]$ 时的降维观测器

6.3.2 基于降维状态观测器的输出动态反馈特性

6.3.3 C 行满秩时的降维观测器

6.3.4 C 行降秩时的降维观测器

由上计算, 则根据分离原理可知, 实现闭环极点配置的

- 降维观测器为:

$$\dot{z} = \begin{bmatrix} -9 & -2 & 0 \\ \frac{35}{2} & 0 & 1 \\ \frac{75}{2} & 4 & 0 \end{bmatrix} z + \begin{bmatrix} -46 \\ 120 \\ \frac{535}{2} \end{bmatrix} y + \begin{bmatrix} 1 \\ 0 \\ -1 \end{bmatrix} u.$$

- 估计状态

$$\hat{x} = \begin{bmatrix} y \\ z + Gy \end{bmatrix} = \begin{bmatrix} 1 & 0 & 0 & 0 \\ -9 & 1 & 0 & 0 \\ \frac{35}{2} & 1 & 0 & 0 \\ \frac{75}{2} & 0 & 0 & 1 \end{bmatrix} \begin{bmatrix} y \\ z_1 \\ z_2 \\ z_3 \end{bmatrix}.$$

- 输出动态反馈为

$$u = \begin{bmatrix} 2 & 5 & 16 & 10 \end{bmatrix} \hat{x} + v.$$



第6章

6.3 降维状态观测器

6.3.1 $C = [I_q \ 0]$ 时的降维观测器

6.3.2 基于降维状态观测器的输出动态反馈特性

6.3.3 C 行满秩时的降维观测器

6.3.4 C 行降秩时的降维观测器

1 6.3 降维状态观测器

- 6.3.1 $C = [I_q \ 0]$ 时的降维观测器
- 6.3.2 基于降维状态观测器的输出动态反馈特性
- 6.3.3 C 行满秩时的降维观测器
- 6.3.4 C 行降秩时的降维观测器



6.3.3 C 行满秩时的降维观测器

第6章

6.3 降维状态观测器

6.3.1 $C = [I_q \ 0]$ 时的降维观测器

6.3.2 基于降维状态观测器的输出动态反馈特性

6.3.3 C 行满秩时的降维观测器

6.3.4 C 行降秩时的降维观测器

- 取

$$T^{-1} = \begin{bmatrix} C \\ R \end{bmatrix}. \quad (25)$$

对系统(2)作非奇异线性变换 $x = T\bar{x}$, 则有

$$T^{-1}T = \begin{bmatrix} C \\ R \end{bmatrix} T = \begin{bmatrix} CT \\ RT \end{bmatrix} = I_n.$$

可得

$$\bar{C} = CT = \begin{bmatrix} I_q & 0 \end{bmatrix}. \quad (26)$$

- 相应地, 记

$$\begin{aligned} \bar{A} &= T^{-1}AT = \begin{bmatrix} A_{11} & A_{12} \\ A_{21} & A_{22} \end{bmatrix} \\ \bar{B} &= T^{-1}B = \begin{bmatrix} B_1 \\ B_2 \end{bmatrix} \\ \bar{x} &= \begin{bmatrix} x_1 \\ x_2 \end{bmatrix} \end{aligned} \quad (27)$$



第6章

6.3 降维状态观测器

6.3.1 $C = [I_q \ 0]$ 时的降维观测器

6.3.2 基于降维状态观测器的输出动态反馈特性

6.3.3 C 行满秩时的降维观测器

6.3.4 C 行降秩时的降维观测器

6.3.3 C 行满秩时的降维观测器

- 由(27), 即将系统(2)在 C 行满秩时的降维状态观测器的设计转化成为

$$\begin{aligned}\dot{\bar{x}} &= \bar{A}\bar{x} + \bar{B}u, \\ y &= \begin{bmatrix} I_q & 0 \end{bmatrix} \bar{x}.\end{aligned}\tag{28}$$

的降维状态观测器设计



第6章

6.3 降维状态观测器

6.3.1 $C = [I_r \ 0]$ 时的降维观测器

6.3.2 基于降维状态观测器的输出动态反馈特性

6.3.3 C 行满秩时的降维观测器

6.3.4 C 行降秩时的降维观测器

6.3.3 C 行满秩时的降维观测器

- 由(27), 即将系统(2)在 C 行满秩时的降维状态观测器的设计转化成为

$$\begin{aligned}\dot{\bar{x}} &= \bar{A}\bar{x} + \bar{B}u, \\ y &= \begin{bmatrix} I_q & 0 \end{bmatrix} \bar{x}.\end{aligned}\tag{28}$$

的降维状态观测器设计

- 容易验证, 矩阵对 (A_{22}, A_{12}) 能观(可检测)等价于矩阵对 (\bar{A}, \bar{C}) 能观(可检测), 等价于矩阵对 (A, C) 能观(可检测)



第6章

6.3 降维状态观测器

6.3.1 $C = [I_r \ 0]$ 时的降维观测器

6.3.2 基于降维状态观测器的输出动态反馈特性

6.3.3 C 行满秩时的降维观测器

6.3.4 C 行降秩时的降维观测器

6.3.3 C 行满秩时的降维观测器

- 由(27), 即将系统(2)在 C 行满秩时的降维状态观测器的设计转化成为

$$\begin{aligned}\dot{\bar{x}} &= \bar{A}\bar{x} + \bar{B}u, \\ y &= [I_q \quad 0]\bar{x}.\end{aligned}\tag{28}$$

的降维状态观测器设计

- 容易验证, 矩阵对 (A_{22}, A_{12}) 能观(可检测)等价于矩阵对 (\bar{A}, \bar{C}) 能观(可检测), 等价于矩阵对 (A, C) 能观(可检测)
- ➡ 由前面的推导直接可得系统(2)的降维状态观测器为(13)
- ➡ 且由

$$\lim_{t \rightarrow \infty} \left(\begin{bmatrix} y \\ \omega + Gy \end{bmatrix} - \bar{x} \right) = 0,$$

可令估计状态为

$$\hat{x} = T \begin{bmatrix} y \\ \omega + Gy \end{bmatrix}\tag{29}$$



6.3.3 C 行满秩时的降维观测器

第6章

6.3 降维状态观测器

6.3.1 $C = [I_r \ 0]$ 时的降维观测器

6.3.2 基于降维状态观测器的输出动态反馈特性

6.3.3 C 行满秩时的降维观测器

6.3.4 C 行降秩时的降维观测器

- 故有

$$\hat{x}(t) - x(t) = T \begin{bmatrix} y \\ \omega + Gy \end{bmatrix} - T\bar{x} = T \left(\begin{bmatrix} y \\ \omega + Gy \end{bmatrix} - \bar{x} \right),$$

从而, $\lim_{t \rightarrow \infty} (\hat{x}(t) - x(t)) = 0$



6.3.3 C 行满秩时的降维观测器

第6章

6.3 降维状态观测器

6.3.1 $C = [I_r \ 0]$ 时的降维观测器

6.3.2 基于降维状态观测器的输出动态反馈特性

6.3.3 C 行满秩时的降维观测器

6.3.4 C 行降秩时的降维观测器

● 故有

$$\hat{x}(t) - x(t) = T \begin{bmatrix} y \\ \omega + Gy \end{bmatrix} - T\bar{x} = T \left(\begin{bmatrix} y \\ \omega + Gy \end{bmatrix} - \bar{x} \right),$$

从而, $\lim_{t \rightarrow \infty} (\hat{x}(t) - x(t)) = 0$

➡ 基于降维状态观测器的输出动态反馈律为

$$u = K\hat{x} + v = KT \begin{bmatrix} y \\ \omega + Gy \end{bmatrix} + v. \quad (30)$$



6.3.3 C 行满秩时的降维观测器

第6章

6.3 降维状态观测器

6.3.1 $C = [I_r \ 0]$ 时的降维观测器

6.3.2 基于降维状态观测器的输出动态反馈特性

6.3.3 C 行满秩时的降维观测器

6.3.4 C 行降秩时的降维观测器

● 故有

$$\hat{x}(t) - x(t) = T \begin{bmatrix} y \\ \omega + Gy \end{bmatrix} - T\bar{x} = T \left(\begin{bmatrix} y \\ \omega + Gy \end{bmatrix} - \bar{x} \right),$$

从而, $\lim_{t \rightarrow \infty} (\hat{x}(t) - x(t)) = 0$

➡ 基于降维状态观测器的输出动态反馈律为

$$u = K\hat{x} + v = KT \begin{bmatrix} y \\ \omega + Gy \end{bmatrix} + v. \quad (30)$$

注: 类似前面的推导, 同样有闭环系统的特征值满足特征值分离定理, 且闭环传递函数即为系统(2)直接状态反馈 $u = Kx + v$ 的闭环传递函数



第6章

6.3 降维状态观测器

6.3.1 $C = [I_q \ 0]$ 时的降维观测器

6.3.2 基于降维状态观测器的输出动态反馈特性

6.3.3 C 行满秩时的降维观测器

6.3.4 C 行降秩时的降维观测器

1 6.3 降维状态观测器

- 6.3.1 $C = [I_q \ 0]$ 时的降维观测器
- 6.3.2 基于降维状态观测器的输出动态反馈特性
- 6.3.3 C 行满秩时的降维观测器
- 6.3.4 C 行降秩时的降维观测器



第6章

6.3 降维状态观测器

6.3.1 $C = [I_r \ 0]$ 时的降维观测器

6.3.2 基于降维状态观测器的输出动态反馈特性

6.3.3 C 行满秩时的降维观测器

6.3.4 C 行降秩时的降维观测器

6.3.4 C 行降秩时的降维观测器

- 设 $\text{rank} C = m < q$. 对 C 作满秩分解,

$$C = EF, \quad (31)$$

其中 E, F 分别为 $q \times m, m \times n$ 的满秩实常阵, 即

$$\text{rank} C = \text{rank} E = \text{rank} F = m. \quad (32)$$



第6章

6.3 降维状态观测器

6.3.1 $C = [I_r \ 0]$ 时的降维观测器

6.3.2 基于降维状态观测器的输出动态反馈特性

6.3.3 C 行满秩时的降维观测器

6.3.4 C 行降秩时的降维观测器

6.3.4 C 行降秩时的降维观测器

- 设 $\text{rank} C = m < q$. 对 C 作满秩分解,

$$C = EF, \quad (31)$$

其中 E, F 分别为 $q \times m, m \times n$ 的满秩实常阵, 即

$$\text{rank} C = \text{rank} E = \text{rank} F = m. \quad (32)$$

- 由 $y = Cx = EFx$ 可得

$$(E^T E)^{-1} E^T y = Fx. \quad (33)$$

记

$$\tilde{y} = (E^T E)^{-1} E^T y, \quad (34)$$

则系统(2)可写为:

$$\begin{aligned} \dot{x} &= Ax + Bu, \\ \tilde{y} &= Fx \end{aligned} \quad (35)$$



第6章

6.3 降维状态观测器

6.3.1 $C = I_n$ 时的降维观测器

6.3.2 基于降维状态观测器的输出动态反馈特性

6.3.3 C 行满秩时的降维观测器

6.3.4 C 行降秩时的降维观测器

6.3.4 C 行降秩时的降维观测器

- 若 (A, F) 可检测(能观),则(35)的降维观测器设计即为第二种情形(C 行满秩时)的降维观测器设计



第6章

6.3 降维状态观测器

6.3.1 $C = I_n$ 时的降维观测器

6.3.2 基于降维状态观测器的输出动态反馈特性

6.3.3 C 行满秩时的降维观测器

6.3.4 C 行降秩时的降维观测器

6.3.4 C 行降秩时的降维观测器

- 若 (A, F) 可检测(能观),则(35)的降维观测器设计即为第二种情形(C 行满秩时)的降维观测器设计

? 上述变换能否保证 (A, F) 的可检测(能观)性呢? 我们有如下结论

引理

引理6.4 矩阵对 (A, F) 能观(可检测)当且仅当矩阵对 (A, C) 能观(可检测).



第6章

6.3 降维状态观测器

6.3.1 $C = [I_n \ 0]$ 时的降维观测器

6.3.2 基于降维状态观测器的输出动态反馈特性

6.3.3 C 行满秩时的降维观测器

6.3.4 C 行降秩时的降维观测器

6.3.4 C 行降秩时的降维观测器

- 若 (A, F) 可检测(能观), 则(35)的降维观测器设计即为第二种情形(C 行满秩时)的降维观测器设计

? 上述变换能否保证 (A, F) 的可检测(能观)性呢? 我们有如下结论

引理

引理6.4 矩阵对 (A, F) 能观(可检测)当且仅当矩阵对 (A, C) 能观(可检测).

证明: 由

$$\begin{aligned} \begin{bmatrix} sI - A \\ C \end{bmatrix} &= \begin{bmatrix} sI - A \\ EF \end{bmatrix} \\ &= \begin{bmatrix} I_n & E \end{bmatrix} \begin{bmatrix} sI - A \\ F \end{bmatrix} \end{aligned}$$

可得

$$\text{rank} \begin{bmatrix} sI - A \\ C \end{bmatrix} \leq \text{rank} \begin{bmatrix} sI - A \\ F \end{bmatrix}$$



6.3.4 C行降秩时的降维观测器

第6章

6.3 降维状态观测器

6.3.1 $C = [I_r]$ 时的降维观测器

6.3.2 基于降维状态观测器的输出动态反馈特性

6.3.3 C行满秩时的降维观测器

6.3.4 C行降秩时的降维观测器

- 反过来, 又由

$$\begin{aligned} \begin{bmatrix} sI - A \\ F \end{bmatrix} &= \begin{bmatrix} sI - A \\ (E^T E)^{-1} (E^T E) F \end{bmatrix} \\ &= \begin{bmatrix} I_n & \\ & (E^T E)^{-1} E^T \end{bmatrix} \begin{bmatrix} sI - A \\ EF \end{bmatrix} \end{aligned}$$

推得:

$$\text{rank} \begin{bmatrix} sI - A \\ F \end{bmatrix} \leq \text{rank} \begin{bmatrix} sI - A \\ C \end{bmatrix}$$



6.3.4 C行降秩时的降维观测器

第6章

6.3 降维状态观测器

6.3.1 $C = [I_r]$ 时的降维观测器

6.3.2 基于降维状态观测器的输出动态反馈特性

6.3.3 C行满秩时的降维观测器

6.3.4 C行降秩时的降维观测器

- 反过来, 又由

$$\begin{aligned}\begin{bmatrix} sI - A \\ F \end{bmatrix} &= \begin{bmatrix} sI - A \\ (E^T E)^{-1} (E^T E) F \end{bmatrix} \\ &= \begin{bmatrix} I_n \\ (E^T E)^{-1} E^T \end{bmatrix} \begin{bmatrix} sI - A \\ EF \end{bmatrix}\end{aligned}$$

推得:

$$\text{rank} \begin{bmatrix} sI - A \\ F \end{bmatrix} \leq \text{rank} \begin{bmatrix} sI - A \\ C \end{bmatrix}$$

➡ 从而有:

$$\text{rank} \begin{bmatrix} sI - A \\ F \end{bmatrix} = \text{rank} \begin{bmatrix} sI - A \\ C \end{bmatrix}, \quad \forall s \in \mathbb{C}$$

故根据PBH判据, 可知引理结论成立. 证毕





6.3.4 C 行降秩时的降维观测器

第6章

下面设计系统(35)即 $\dot{x} = Ax + Bu, \tilde{y} = Fx$ 的降维状态观测器

6.3 降维状态观测器

6.3.1 $C = [I_r \ 0]$ 时的降维观测器

6.3.2 基于降维状态观测器的输出动态反馈特性

6.3.3 C 行满秩时的降维观测器

6.3.4 C 行降秩时的降维观测器



6.3.4 C 行降秩时的降维观测器

第6章

6.3 降维状态观测器

6.3.1 $C = [I_m]$ 时的降维观测器

6.3.2 基于降维状态观测器的输出动态反馈特性

6.3.3 C 行满秩时的降维观测器

6.3.4 C 行降秩时的降维观测器

下面设计系统(35)即 $\dot{x} = Ax + Bu, \tilde{y} = Fx$ 的降维状态观测器

- 引入非奇异线性变换

$$x = T\bar{x}, \quad T^{-1} = \begin{bmatrix} F \\ N \end{bmatrix} \quad (36)$$

则有

$$\begin{aligned} \bar{F} &= FT = \begin{bmatrix} I_m & 0 \end{bmatrix} \\ \bar{A} &= T^{-1}AT = \begin{bmatrix} A_{11} & A_{12} \\ A_{21} & A_{22} \end{bmatrix} \\ \bar{B} &= T^{-1}B = \begin{bmatrix} B_1 \\ B_2 \end{bmatrix} \\ \bar{x} &= \begin{bmatrix} x_1 \\ x_2 \end{bmatrix}. \end{aligned} \quad (37)$$



6.3.4 C 行降秩时的降维观测器

第6章

6.3 降维状态观测器

6.3.1 $C = [I_r \ 0]$ 时的降维观测器

6.3.2 基于降维状态观测器的输出动态反馈特性

6.3.3 C 行满秩时的降维观测器

6.3.4 C 行降秩时的降维观测器

- 系统 $(\bar{A}, \bar{B}, \bar{F})$ 的降维状态观测器为:

$$\dot{\omega} = (A_{22} - GA_{12})\omega + [(A_{22} - GA_{12})G + (A_{21} - GA_{11})]\tilde{y} + (B_2 - GB_1)u, \quad (38)$$

其中, G 使得 $A_{22} - GA_{12}$ 的特征值均具有负实部

- 且有

$$\lim_{t \rightarrow \infty} \left(\begin{bmatrix} \tilde{y} \\ \omega + G\tilde{y} \end{bmatrix} - \bar{x} \right) = 0.$$

- 将 \tilde{y} 代入(38), 则得系统(2)在 C 降秩时的降维状态观测器

$$\begin{aligned} \dot{\omega} = & (A_{22} - GA_{12})\omega + [(A_{22} - GA_{12})G + (A_{21} - GA_{11})](E^T E)^{-1} E^T y \\ & + (B_2 - GB_1)u. \end{aligned} \quad (39)$$



第6章

6.3 降维状态观测器

6.3.1 $C = [I_r \ 0]$ 时的降维观测器

6.3.2 基于降维状态观测器的输出动态反馈特性

6.3.3 C 行满秩时的降维观测器

6.3.4 C 行降秩时的降维观测器

6.3.4 C 行降秩时的降维观测器

- 令估计状态为:

$$\hat{x} = T \begin{bmatrix} \tilde{y} \\ \omega + G\tilde{y} \end{bmatrix} = T \begin{bmatrix} (E^T E)^{-1} E^T y \\ \omega + G(E^T E)^{-1} E^T y \end{bmatrix}, \quad (40)$$

显然, 有

$$\lim_{t \rightarrow \infty} (\hat{x}(t) - x(t)) = \lim_{t \rightarrow \infty} T \left(\begin{bmatrix} \tilde{y} \\ \omega + G\tilde{y} \end{bmatrix} - \bar{x} \right) = 0$$

即, \hat{x} 渐近逼近原系统状态 x

- 考虑系统(2), 在 $\text{rank} C = m < q$ 时的基于降维状态观测器的输出动态反馈. 令输出动态反馈律为

$$u = K\hat{x} + v = KT \begin{bmatrix} (E^T E)^{-1} E^T y \\ \omega + G(E^T E)^{-1} E^T y \end{bmatrix} + v. \quad (41)$$



第6章

6.3 降维状态观测器

6.3.1 $C = [I_r \ 0]$ 时的降维观测器

6.3.2 基于降维状态观测器的输出动态反馈特性

6.3.3 C 行满秩时的降维观测器

6.3.4 C 行降秩时的降维观测器

6.3.4 C 行降秩时的降维观测器

- 令估计状态为:

$$\hat{x} = T \begin{bmatrix} \tilde{y} \\ \omega + G\tilde{y} \end{bmatrix} = T \begin{bmatrix} (E^T E)^{-1} E^T y \\ \omega + G(E^T E)^{-1} E^T y \end{bmatrix}, \quad (40)$$

显然, 有

$$\lim_{t \rightarrow \infty} (\hat{x}(t) - x(t)) = \lim_{t \rightarrow \infty} T \left(\begin{bmatrix} \tilde{y} \\ \omega + G\tilde{y} \end{bmatrix} - \bar{x} \right) = 0$$

即, \hat{x} 渐近逼近原系统状态 x

- 考虑系统(2), 在 $\text{rank} C = m < q$ 时的基于降维状态观测器的输出动态反馈. 令输出动态反馈律为

$$u = K\hat{x} + v = KT \begin{bmatrix} (E^T E)^{-1} E^T y \\ \omega + G(E^T E)^{-1} E^T y \end{bmatrix} + v. \quad (41)$$

注 类似于前面的推导, 即有闭环系统的特征值满足特征值分离原理, 闭环系统传递函数即为原系统直接状态反馈的闭环传递函数



第6章

6.3 降维状态观测器

6.3.1 $C = [I_r \ 0]$ 时的降维观测器

6.3.2 基于降维状态观测器的输出动态反馈特性

6.3.3 C 行满秩时的降维观测器

6.3.4 C 行降秩时的降维观测器

● 教材:

程兆林, 马树萍. 线性系统理论. 北京: 科学出版社, pp. 132-142